

01;05.1

©1995

# О ПРИРОДЕ ВЯЗКО-ХРУПКОГО ПЕРЕХОДА

Л.Б.Зуев, Ю.Л.Зуев

Проблема вязко-хрупкого перехода (хладноломкость) металлов и сплавов является одной из наиболее старых и в то же время далеких от разрешения. Несмотря на то что металлургические аспекты ее изучены достаточно давно и подробно [1,2], физическая сторона вопроса проработана не до конца. Использование в качестве отправной точки классической модели Иоффе-Давиденкова [3] привело к развитию ряда направлений, связанных с учетом роли макротрещин [4], использованием линейной механики разрушения [5], анализом поведения ансамблей микродефектов [6], учетом масштабного фактора [7]. Общим для всех существующих подходов является представление о том, что уже начиная со стадии зарождения хрупкое и вязкое разрушение различаются принципиально.

В настоящей работе формулируется модель, согласно которой начальная стадия разрушения является единой для обоих вариантов разрушения, а различие в характере процессов возникает позднее и определяется внешними факторами, среди которых главную роль играет температура.

Положим, что в нагруженном теле имеется концентратор напряжений — трещина, которая в дальнейшем будет развиваться либо хрупко, без заметной пластической деформации, либо вязко, с рождением дислокаций и полос скольжения [8,9]. Известно, что процесс разрушения представляет собой объединение микротрещин, возникающих на продолжении магистральной [6,9,10]. Они могут формироваться диффузионным путем за счет конденсации избыточных вакансий, порождаемых вершиной магистральной трещины [10], и образования плоских дисков, ограниченных плоскостями с малой плотностью поверхностной энергии. Такой диск при радиусе больше критического может захлопнуться с образованием призматической дислокационной петли [8]. Оценка критического размера с может быть сделана с помощью соотношения

$$2\pi c^{*2} \gamma \approx 2\pi c^8 G b^2, \quad (1)$$

где слева стоит поверхностная энергия плоского вакансационного диска, а справа энергия призматической дислокационной петли с вектором Бюргерса  $\mathbf{b}$ ;  $G$  — модуль сдвига,

Критический размер вакансационного скопления в кристаллах (в единицах  $c/b$ )

Кристалл	$G, 10^5$ МПа	$\gamma, \text{Дж}/\text{м}^2$	$c/b$
Mg	3.08	2.33	13
LiF	1.08	0.78	19.5
NaCl	0.345	0.345	20
Si	1.75	1.27	26
W	3.89	3.32	26
$\alpha$ -Fe	2.22	1.71	26
Cu	1.31	0.82	41
Zn	1.09	0.85	29.5
Cd	0.81	0.73	29

$\gamma$  — плотность поверхностной энергии деформируемой среды. Используя данные о величинах  $b$ ,  $\gamma$  и  $G$  из работы [10], можно оценить критический размер плоского вакансационного скопления  $c^* \approx Gb^2/\gamma$ , после достижения которого оно преобразуется в дислокационную петлю. Эти величины приведены в таблице.

Возможны два варианта эволюции плоского вакансационного диска в зоне макроконцентратора. При  $c < c^*$  плоское скопление эквивалентного зародышевой микротрещине. В поле напряжений, созданном исходной макротрещиной, микроскопическая начинает расти и объединяется с магистральной. При  $c > c^*$  плоское скопление захлопывается, а появляющаяся при этом в упругом поле макротрещины призматическая петля служит дислокационным источником [8], работа которого вызывает появление хорошо известной [4,9] картины следов скольжения вблизи конца трещины. Таким образом, микроскопические очаги хрупкого разрушения и дислокационные источники имеют одну и ту же природу. Характер разрушения же зависит от того, успеет плоский вакансационный диск в теле под нагрузкой перейти в распространяющуюся трещину до достижения критического размера  $c^*$  или, превзойдя последний, станет источником пластической деформации.

Имея в виду малый размер дискообразного дефекта  $C \approx c^*$ , его развитие можно полагать [6] термически активированным процессом, что позволяет для оценки времени равновесия тела с такой трещиной под нагрузкой использовать формулу Журкова [12]:

$$t = t_0 \exp \frac{U - V_\sigma}{kT} \quad (2)$$

Здесь  $t_0$  — временной множитель;  $U$  — потенциальный барьер для разрыва связей в материале;  $V$  — активационный

объем, учитывающий наличие дефектов структуры и концентрацию напряжений на них [12];  $kT$  — имеет обычный смысл. Снижение потенциального барьера для развития разрушения есть [11]  $V\sigma = \sigma V_{0\sigma}$ , где  $V_0$  — атомный активационный объем,  $\kappa$  — коэффициент концентрации напряжений. В соответствии с [11]  $\kappa$  учитывает концентрацию напряжений в вершине трещины и за счет уменьшения живого сечения тела, т. е.

$$\kappa = \kappa_0(1 + c/a)(1 + c/L), \quad (3)$$

где  $a$  — параметр решетки,  $L$  — макроскопический размер тела,  $\kappa_0$  — константа, учитывающая изменение сил связи вблизи вершины трещины. В случае микротрещины  $a \ll c \ll L$  и, следовательно,

$$\kappa \approx \kappa_0 c/a. \quad (4)$$

Таким образом, с учетом (4) для (2) получается

$$t = t_0 \exp \frac{U - \beta c}{kT}, \quad (5)$$

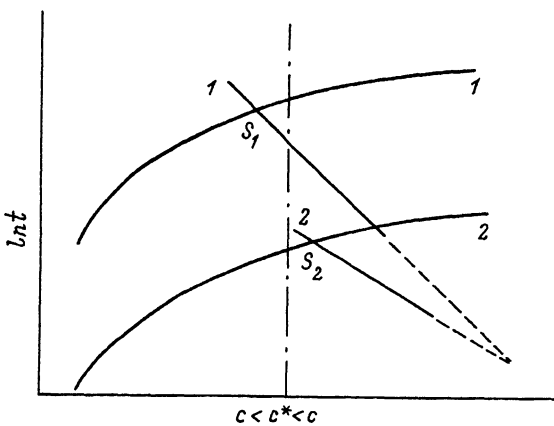
где  $\beta = \kappa V_0 \sigma / a$ . Схематически эта зависимость для двух температур  $T_1 < T_2$  приведена на рисунке в координатах  $\ln t - c$  при  $\sigma = \text{const}$ .

С другой стороны, диффузионная кинетика роста вакационных скоплений подчиняется [10,13] закону ( $D$  — коэффициент диффузии)

$$c \approx (DT)^{1/2}, \quad (6)$$

что также показано на рисунке. Характер процесса разрушения определяется положением точки пересечения соответствующих прямой и кривой  $S$  относительно значения  $c^*$ . Очевидно, пересечение в точке  $S_1$ , имеющей абсциссу  $c < c^*$ , отвечает случаю роста микротрещины и хрупкому характеру разрушения. Напротив, пересечению в  $S_2$  соответствует  $c > c^*$ , и должно реализоваться вязкое разрушение с рождением скользящих дислокаций из призматических петель. Из рисунка следует, что при более высокой  $T_2$  пересечение происходит в правой части приведенной схемы, а при более низкой  $T_1$  — в левой, т. е. температурная зависимость описывается достаточно правильно.

Легко убедиться в правильности учета роли плотности поверхностной энергии в предложенной схеме. При уменьшении  $\gamma$  в соответствии с (1) величина  $c^*$  смещается вправо, что влечет за собой повышение порога хладноломкости. Интересен вопрос о влиянии скорости приложения нагрузки, которая, как известно [1,2], является охрупчивающим



К объяснению температурной зависимости типа разрушения:  
1 — низкие температуры, 2 — высокие температуры.

фактором. Поскольку при росте темпа приложения нагрузки долговечность падает [12], прямые  $\ln t - c$  на рисунке будут иметь больший наклон и пересекаться с кривыми  $\ln t - c$  при меньших значениях  $c$ , что соответствует росту вероятности развития хрупкого варианта разрушения.

Таким образом, факторы, способствующие смещению точки пересечения  $S$  к малым значениям  $c$ , охрупчивают материал, а смещающие  $S$  вправо делают его вязким. Подчеркнем, что всюду речь идет о длине трещины, меньшей критической в смысле Гриффитса [4]  $c^* < c_G \approx G\gamma/\sigma^2$ , развитие которой начинается без временной задержки.

Рассмотрим некоторые численные оценки. Время до разрушения тела, содержащего микротрещину, может быть оценено по (5) с использованием данных из [11,12] для  $\alpha$  — Fe. Полагая  $10^{-13} \leq t_0 \leq 10^{-12}$  с,  $V_0 \approx 1.5 \cdot 10^{-29}$  м<sup>3</sup>,  $\chi_0 \approx 20$ ,  $c \approx 5 \cdot 10^{-9}$  м,  $a = 3.16 \cdot 10^{-10}$  м,  $\sigma = 150$  МПа,  $T = 300$  К, с учетом (4) получаем  $8 \leq t \leq 80$  с. Критическим для данной схемы остается вопрос о возможности диффузионного развития очагов разрушения или деформации за время  $t$ . Из (6) следует, что для этого необходим коэффициент диффузии  $D \approx 2.5 \cdot 10^{-18}$  м<sup>2</sup>/с, что на много порядков выше характерного для миграции вакансий в  $\alpha$  — Fe значения [14]. ( $D \approx 1.5 \cdot 10^{-28}$  м<sup>2</sup>/с при энергии миграции  $\sim 1.2$  эВ). Однако существуют, по крайней мере, три фактора, могущие оправдать необходимо высокое значение  $D$ . Известно, например [15], что в вершине развивающейся трещины температура повышается на несколько сотен градусов, по самым умеренным оценкам. Тогда уже при  $T = 600$  К  $D \approx 3.7 \cdot 10^{-18}$  м<sup>2</sup>/с.

Далее, диффузия в зоне предразрушения происходит в поле градиента напряжений, что существенно ускоряет диффузию [16]. наконец, в [17] показано, что в районе концентратов напряжений возникает так называемое сильно возбужденное состояние и перемещение атомов реализуется не диффузионным, а более быстрым гидродинамическим способом. Таким образом, образование микротрешины длиной  $s$  за время  $t$  представляется вполне возможным и ордината точки  $S$  имеет конечное значение.

Дальнейшее развитие предложения модели предполагается в направлении более реалистического расчета долговечности, учитывающего режим приложения нагрузки  $\sigma = \sigma(t)$ , кинетику роста микротрешин в нагруженном материале, их число и форму.

### Список литературы

- [1] Гудремон Э. Специальные стали. М.: Металлургиздат, 1960. В 2-х г. 1638 с.
- [2] Schwaabe K.H. Bruchmechanik metallischer werkstoffe. Muenchen. Spring. Ferlag. 1980. 847 S.
- [3] Йоффе А.Ф. Избранные труды. Т. 1. Л.: Наука, 1974. С. 183–185.
- [4] Дроэдовский Б.А., Фридман Я.Б. Влияние трещин на механические свойства конструкционных сталей. М.: Металлургиздат, 1960. 260 с.
- [5] Красовский А.Я. Хрупкость металлов при низких температурах. Киев: Наук. думка, 1980. 338 с.
- [6] Владимиров В.И., Орлов А.Н., Петров В.А. // Металлофизика. Вып. 43. Киев: Наук. думка, 1972. С. 83–86.
- [7] Чечулин Б.Б. Масштабный фактор и статистическая природа прочности металлов. М.: Металлургиздат, 1963. 120 с.
- [8] Фридель Ж. Дислокации. М.: Мир, 1967. 645 с.
- [9] Финкель В.М., Зуев Л.Б., Филатов А.М. // Изв. АН СССР. Металлы. 1968. № 2. С. 171–175.
- [10] Пинес Б.Я. Очерки по металлофизике. Харьков: Изд-во ХГУ, 1961. 315 с.
- [11]. Гилман Дж. Дж. // Атомный механизм разрушения: Сб. статей / Под ред. М.А.Штремеля. М.: Металлургия, 1963. С. 220–250.
- [12] Регель В.Р., Случкер А.И., Томашевский Э.Е. Кинетическая природа прочности твердых тел. М.: Наука, 1974. 560 с.
- [13] Zener C. // J. of Appl. Phys. 1949. V. 20. N 10. P. 950–958.
- [14] Орлов А.Н., Трушин Ю.В. Энергии точечных дефектов в металлах. М.: Энергоатомиздат, 1983. 80 с.
- [15] Райс Дж. Р., Леви Н. // Физика прочности и пластичности: Сб. статей. / Под ред. Л.К. Гордиенко. М.: Металлургия, 1972. С. 241–259.
- [16] Маннинг Дж. Кинетика диффузии атомов в кристаллах. М.: Мир, 1971. 277 с.
- [17] Егорушкин В.Е., Панин В.Е., Хон Ю.А. // Изв. ВУЗов. Физика. 1987. № 1. С. 9–33.